# 「112〕 炭素繊維補強セメント複合材(CFRC)の力学的性質

正会員 秋 浜 繁 幸 (鹿島建設技術研究所) 正会員 末永 龍 夫 (鹿島建設技術研究所) 正会員 中 Ш 裕 章 (鹿島建設技術研究所) 老 正会員 〇 鈴 木 渚 (鹿島建設技術研究所)

#### 1. はじめに

炭素繊維補強セメント複合材 (CFRC) は、長さ 3~10mmの炭素短繊維を、ペーストあるいはモルタルマトリックス中に容積比で数%均等に分散・混入したセメント系複合材料の一種であり、ユニークな諸特性を有する新しい土木・建築用材料として、近年注目を集めている。

CFRCに使用される炭素繊維の種類に関しては、これまで、物性値ではPAN系炭素繊維に比べ若干劣るもののコスト面で有利なピッチ系炭素繊維を中心に、開発と実用化を進めてきた<sup>1)</sup>。しかし、炭素繊維の製造技術における最近の伸展にはめざましいものがあり、近い将来、現在のPAN系に匹敵する程の性能を有する炭素繊維が、かなり安価に供給される可能性もある。CFRCのような短繊維強化型の複合材料では、強度や弾性率など繊維そのものの物性はもとより、繊維の配向効果、あるいは繊維~マトリックス間の界面付着特性といった要因も、その複合材料の力学的特性を大きく左右する。したがって、これらの各種要因がCFRCの力学的特性に及ぼす影響を明らかにしておくことは、将来予測される高強度・高弾性タイプの炭素繊維を利用したCFRCの実用化に際しても極めて有効であると考えられる。

このような状況を背景に、本研究は、繊維やマトリックスおよびその界面で作用する各種要因が CFR Cの力学的特性に及ぼす効果について、実験的検討を行ったものである。

#### 2. 実験計画

前述の各種要因が C F R C の力学的特性に及ぼす効果を明らかにするため、実験要因として①炭素繊維の種類、②繊維混入率、③養生・硬化法、の3 者を取上げ、これらを種々変化させて実施した C F R C の純引張試験結果および破壊面からの繊維の突出長さの測定結果から、その影響を検討した。実験計画の概要を表 - 1 に示す。

#### 2-1 炭素繊維の種類・混入率

実験に使用した炭素繊維は、ピッチ系およびPAN系各1種類ずつである。その性質を表-2に示す。両タイプ共繊維長3 mmの短繊維であるが、PAN系の方が、ピッチ系に比べ、よりアスペクト比が高く、高強度、高弾性である。

繊維の容積混入率は、0.2.1,4.2,5.3%の4 水準とした。ただし、破壊面からの繊維突出長さ の測定は、2.1,4.2%の2水準に対してのみ実 施した。

## 2-2 調 合

表-3にマトリックスの調合を示す。

## 2-3 供試体の成型方法

容量10ℓのオムニミキサーを用いてCFRCを 練り混ぜ、鋼製型枠に流込んで供試体を成型した。

表-1 実験計画の慨要

繊維	繊維容積 混入率	供試体の養生・硬化法					
種別		20°C∙65%RH	オートクレーブ養生	オートクレーブ養生後樹脂含浸			
ピッチ系	0	0	0	0			
	2.1			•			
	4.2	•					
	5.3	0	0	0			
PAN系	0	0	0	0			
	2.1		•	•			
	4.2			•			
	5.3	0	0	0			

注) ●: 純引張試験および繊維の突出長さ測定を実施 ○: 純引張試験のみ実施

表-2 炭素繊維の性質

繊維	Á	战維形状	÷		- 1 1 / - t-	弾性係数 (kgf/mm²)	伸度 (%)
種別	直径(d) (μm)	長さ(ℓ) (mm)	アスペ クト比 (Q/d)	比重	引張強度 (kgf/mm²)		
 ピッチ系	14.5	3	207	1.63	78	$3.8 \times 10^{3}$	2.1
PAN系	7.0	3	429	1.90	320	23.0×10 <sup>5</sup>	1.4

表-3 練り混ぜ時のマトリックスの調合

水・セメント比	骨材・セメント比	重量		(kg/m³)		
W/C (%)	S/C	水	セメント	粉末硅石	増粘剤	
47.3	0.25	512	1,082	274	10.8	

## 2-4 CFRCの養生・硬化法

供試体は成型の翌日脱型し、その後図-1に示す手順にて、空中養生、オートクレーブ養生、およびオートクレーブ養生後樹脂含浸の3種類の養生・硬化を行った。このように3種類の養生・硬化法を適用したのは、繊維~マトリックス界面での付着特性を変化させるためである。

#### 2-5 純引張試験方法

#### 2-6 破壊面からの繊維突出長さ測定方法

前記の純引張試験に類似の方法(ただし、供試体厚さ1mm,中央のストレート部は幅10,長さ30mmで,ひずみゲージの貼付けなし)で試験した後,試験片破壊面から突出している繊維の長さを,倍率20倍又は60倍の光学顕微鏡を用いて測定した。

#### 3. 実験結果および考察

## 3-1 引張応力度 $(\sigma t)$ - ひずみ度 $(\epsilon)$ 曲線

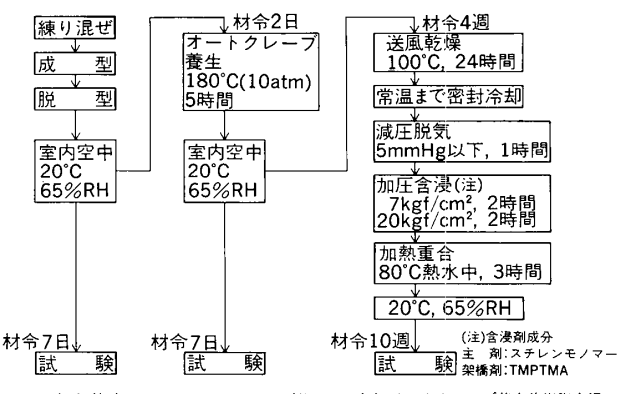
純引張試験から得られた $\sigma$ t  $-\varepsilon$  曲線の代表例を図-3に示す。同図によると、ピッチ系CFRCおよびPAN系CFRC共に、樹脂含浸した場合の $\sigma$ t  $-\varepsilon$  曲線は、最大引張応力の $90\sim95\%$ までは直線的であり、そこで折れて、わずかではあるが剛性の低い第2直線部が現れた。ただし、繊維混入率 2.1%の樹脂含浸ピッチ系CFRCだけは、その $\sigma$ t  $-\varepsilon$  関係が最後まで直線的であり、 関界繊維混入率 3)以下の状態にあったものと判断される。

一方、オートクレーブ養生のみの場合には、ピッチ系、PAN系共に、樹脂含浸の場合に比べ、より延性的な $\sigma t - \varepsilon$  関係を示した。ただし、ピッチ系の $\sigma t - \varepsilon$  曲線が、第1直線部と、それより剛性の大きく低下した第2直線部から成る明確な bi-linearの性状を示したのに対し、PAN系の $\sigma t - \varepsilon$  関係は、初期剛性からの剛性低下が、かなり漸進的に生じた。

なお、空中養生の場合には、ピッチ系、PAN系の両タイプ共に、オートクレーブ養生のみの場合の $\sigma_t$  -  $\epsilon$  関係に類似の挙動を示した。

### 3-2 引張強度

繊維の種別で比較すると, 同一の繊維混入率で



(a) 空中養生 (b) オートクレーブ養生 (c) オートクレーブ養生後樹脂含浸 図 - 1 CFRCの養生・硬化法

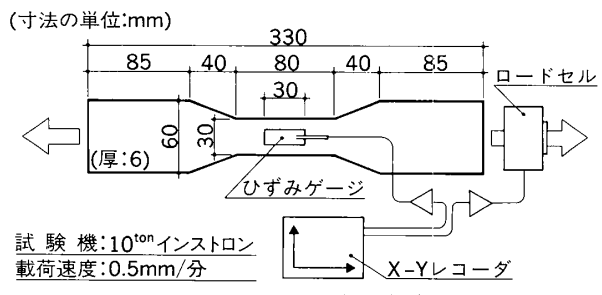


図-2 純引張試験方法

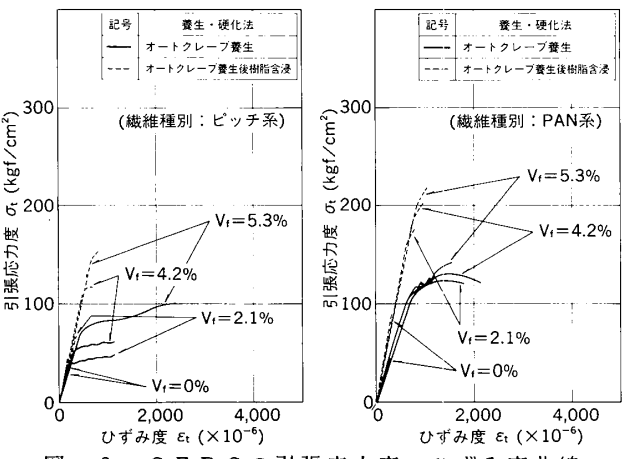


図-3 CFRCの引張応力度-ひずみ度曲線

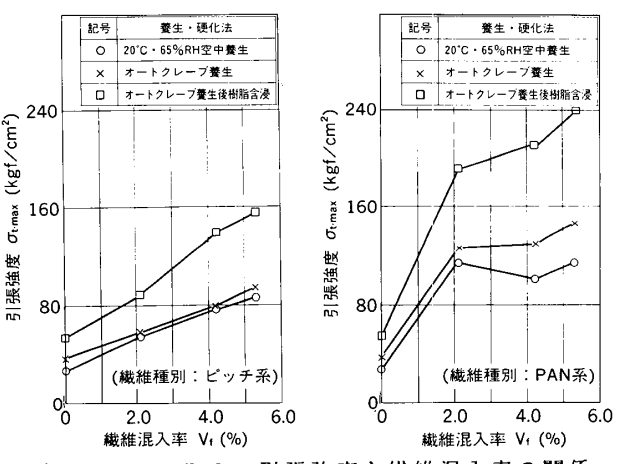


図-4 CFRCの引張強度と繊維混入率の関係

同一の養生・硬化法を行った場合には、より高強度な繊維を用いているPAN系CFRCの方がピッチ系 CFRCよりも常に高い引張強度を示した。

また、繊維混入率の増加に伴う引張強度の増加傾向を両タイプの繊維で比較すると、ピッチ系では繊維量の増加につれてCFRCの引張強度も着実に増していくのに対し、PAN系では混入率 2.1~ 5.3%の範囲での引張強度の増加傾向がさほど顕著ではない。これは、おそらく、ピッチ系に比べてPAN系炭素繊維のアスペクト比が大きい(表 - 2 参照)ために、高い繊維混入率では繊維の均等分散が不十分であったことによると考えられる。

#### 3-3 破断面からの繊維突出長さと繊維~マトリックス界面付着強度の関係

図-5は、CFRC試験片破断面からの繊維突出長さを測定した結果の例である。同図によると、同一のPAN系繊維を使用したCFRCでも、樹脂含浸を行った場合には、オートクレーブ養生のみの場合に比べ、繊維突出長さがかなり小さい側に分布している。この場合、両者の差異は、繊維~マトリックス間の付着強度の違いが原因であると考えられるが、これは以下のように説明できる。

いま,複合材中の短繊維が,限界繊維長さ $\ell$  c 以上の繊維長さ(=繊維~マトリックス間の界面付着応力を通じてマトリックスから伝達される応力が,繊維を破断せしめるに充分な大きさにまでなり得る繊維長さ)を有しているものと仮定する。すると,破断寸前の繊維における繊維応力の分布は,図 -6 (c)のようにモデル化できる2)。

また、図-6(b)において、繊維の中央部で、 繊維断面に作用する引張力と繊維表面の半分に作用 する界面付着力との釣合いを考えれば、

$$\sigma \, \operatorname{fu} \cdot \frac{\pi \, \mathrm{d}^2}{4} = \pi \, \mathrm{d} \cdot \frac{\ell \, \mathrm{c}}{2} \cdot \overline{\tau}$$

職 維 種 別: PAN系
 職 維 長 き 3 mm
 職 維 長 き 3 mm
 職 維 長 き 3 mm
 職 維 長 き 21 no
 測定総本数: 120本
 費生・優化法:
 オートクレーブ費生後樹脂含浸
 平均突出長き
 0.03 mm
 機 維 長 さ (×10<sup>-2</sup> mm)

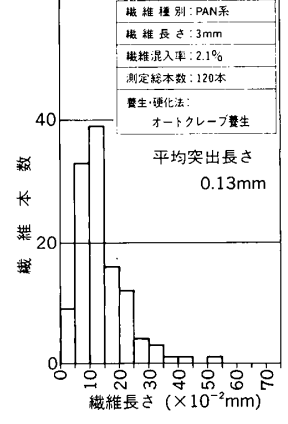


図-5 CFRC破断面からの繊維突出長さの分布

ゆえに.

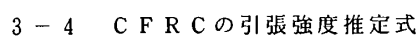
$$\frac{\overline{\tau}}{\tau} = \sigma \operatorname{fu} \cdot \frac{\mathrm{d}}{2 \, \ell \, \mathrm{c}} \quad \dots \quad ($$

ここに.

τ : 平均付着強度σ fu: 繊維の引張強度

d :繊維直径

となって、繊維突出長さの平均値 ℓ p (= ℓ c / 4) と平均付着強度 τの関係が得られる。



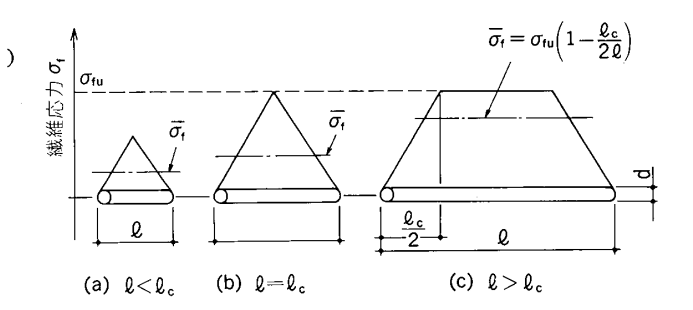


図-6 種々の長さを持つ、複合材中の短繊維の応力分布

繊維補強セメント・コンクリートの強度則によれば、限界繊維混入率以上の繊維量を有し(=マトリックス破壊後も繊維のみで応力を負担し得る)、その破壊において繊維の大半が引抜けることなく破断を生じる(=繊維長さが限界繊維長さ $\ell$  以上)ならば、複合材の引張強度は次式で表される $\ell$  。

 $\sigma$  t·max : 複合材の引張強度  $\eta_1$  : 繊維配向係数(< 1) V f : 繊維混入率  $\eta_2$  : 繊維有効長さ係数(< 1)

V f. crit: 限界繊維混入率

したがって、何らかの方法で式(2)中の $^\eta$ 1、 $^\eta$ 2 が求められれば、例えば図 -4 のような引張強度

が示す傾向に対して、繊維の配向や長さが及ぼしている効果を、定量的に評価できるであろう。以下では、 この $\eta_1$ ,  $\eta_2$  を実験結果から求める手順を述べる。

繊維量が限界繊維混入率以上 (Vſ≥Vf.crit), 繊維長さが限界繊維長さ以上(≠≥√c) であれば, 複合材の破壊時に破断する繊維の平均引張応力は、図-6(c)中に示す通り、(3)式で表され、同式 における $\sigma$  fuの係数が,(2)式中の繊維有効長さ係数 $\eta_2$  である。すなわち,

$$\eta_2 = 1 - \frac{\ell c}{2 \ell} \dots (4)$$

ここに,

of: 繊維の平均引張応力

:繊維長さ

となって、破壊面での繊維突出長さの平均値 $\ell$ p (= $\ell$ c / 4) から繊維有効長さ係数 $\eta_{g}$  が算出される。 さらに、この $\eta_0$  と純引張試験結果から得られた複合材の引張強度 $\sigma$  t-max を用いて、式 (1) より、 繊維配向係数 η を求めることができる。

# 3-5 純引張応力を受ける C F R C の力学的特性に及ぼす、 $\ell$ c , $\tau$ , $\eta$ 1 , $\eta$ 2 の要因効果

以上のような手順により、純引張試験結果および破壊面の繊維突出長さの測定結果から算出した、足c,  $\tau$ ,  $\eta_1$ ,  $\eta_2$  の値を表 -4 にまとめて示す。ただし、Vf=2.1%の樹脂含浸ピッチ系CFRCについ ては、前述した $\sigma$ t -  $\epsilon$ 曲線の形状から、限界繊維混入率以下の繊維量になっていたと判断されたため、

 $\eta_1$  と $\eta_2$  の値は算出しなかった。 表-6から明らかなように、これ ら12種類のCFRCの限界繊維長さ \_ £ c は, 最大でも 1.56mm と繊維長 -さ(300) の半分程度であった。特に, 樹脂含浸CFRCの & c はいずれも 』 0.5mmと非常に短く、樹脂含浸によ って付着特性が著しく向上すること が分る。また, どんな養生・硬化法 の場合にも、PAN系のほうがピッ -チ系より l c は短く, よって付着強 度は大きいという結果を得た。また 全般に、繊維量が 2.1%から 4.2% 付着強度は低下する傾向があった。

表-4 破断面からの繊維突出長さの測定結果および純引張 試験結果を基に算出した、 $\ell$  c ,  $\eta$  1 ,  $\eta$  2 ,  $\tau$  の値

実験条件			実験	值	計算値				
繊維種別	養生・硬化法	繊 維 混入率 (%)	繊維突出長さ の平坪値 lp (mm)	ℓpの標 準偏差 (mm)	Q <sub>p</sub> d	限 界 繊維長 lc(mm)	$ \left(=1-\frac{\ell_{c}}{2\ell}\right) $	$\eta_1$	平均付着 強度 〒 (kgf/cm²)
ピッ	20°C·65%RH 空中養生	2.1	0.39	0.23	26.9	1.56	0.74	0.31	37
		4.2	0.36	0.26	24.8	1.44	0.76	0.45	40
	オートクレーブ養生	2.1	0.21	0.07	14.5	0.84	0.86	0.42	69
		4.2	0.31	0.17	21.4	1.24	0.79	0.30	47
	オートクレーブ養生後	2.1	0.11	0.07	7.6	0.44			132
	樹脂含浸	4.2	0.12	0.13	8.3	0.48	0.92	0.45	121
P A	20°C ⋅ 65%RH	2.1	0.15	0.11	21.4	0.60	0.90	0.19	187
	空中養生	4.2	0.34	0.26	48.6	1.36	0.77	0.09	82
	オートクレーブ養生	2.1	0.13	0.08	18.6	0.52	0.91	0.21	215
		4.2	0.16	0.12	22.9	0.64	0.89	0.11	175
	オートクレーブ養生後	2.1	0.03	0.02	4.3	0.12	0.98	0.29	933
	樹脂含浸	4.2	0.04	0.03	5.7	0.16	0.97	0.16	700
÷) 0 - 40 0 - 2mm									

さらに、繊維配向係数  $\eta$  , は、ピッチ系の 0.30  $\sim$  0.45 に対し、 PAN系では 0.09  $\sim$  0.29 しかな く、ピッチ系に比べてPAN系は配向効果が低いという結果になった。これは、おそらく、繊維の均等分 散が不十分であったためと考えられる。

#### 4. まとめ

CFRCの力学的性質に及ぼす各種要因の影響を明らかにするため、純引張試験および破壊面からの繊 維突出長さ測定を行った。その実験結果を基にして、繊維の引張強度、長さ、付着強度、配向性といった 諸要因の効果を定量的に明らかにすることができた。

- 本研究を実施するにあたり、御指導いただいた亀田泰弘博士(鹿島建設顧問)、ならびにCFRCの含浸 重合処理を行っていただいた大濱嘉彦博士(日本大学教授)に感謝の意を表します。なお、本研究のPAN 系CFRCのデータの一部は、日本材料学会学術講演会(昭和60年3月)に発表済みである事を付記する.
- 文 献 1) 秋浜;炭素繊維補強コンクリート (CFRC), 建築技術, No.412, pp.139-148, 昭和60年12月
  - 2) 藤井,座古;複合材料の破壊と力学,実教出版(株),pp.100-102
  - 3) Hannant, D. J.: Fibre cements and fibre concretes, pp.12-29, John Willey & Sons, 1975